

秋田大学 学生員 ○ 唐沢 洋司
 秋田大学 正員 橋農 知徳
 秋田大学 正員 薄木 征三

1. まえがき 古典曲げ理論あるいは従来の曲げねじり理論では、弾性波は短波長において無限の位相速度で伝播する。これらの欠点は、曲げ波動については回転慣性とせん断変形を考慮した Timoshenko ばかり、曲げねじり波動については薄肉開断面ばかりに同じ考え方を適用した Aggarwal & Crouch の理論¹⁾によて改良された。

本理論も基本的には同じ考え方をするが、せん断ひずみ分布に平均せん断ひずみを仮定せずせん断による変形を考慮した非線形せん断ひずみ分布を有するせん断変形を考慮したばかり理論を動的の場合に拡張したものである。

本論文は、Timoshenko ばかり、Aggarwal & Crouch の理論さらに断面変形を考慮した理論等と本理論との比較を示したものである。

2. 理論の概要 せん断変形を考慮した薄肉部材の理論³⁾から変位場が次のよう求められた。

$$\bar{U} = U - y \cdot \varphi, \quad \bar{V} = V - x \cdot \varphi, \quad \bar{W} = x \cdot U' - y \cdot V' - \omega \cdot \varphi' + \frac{E}{G} (B_x \cdot U + B_y \cdot V + B_w \cdot \vartheta) \quad (1)$$

從ってひずみ成分は

$$\begin{aligned} \epsilon_x &= \bar{w}' - x \cdot U'' - y \cdot V'' - \omega \cdot \varphi'' + \frac{E}{G} (B_x \cdot U' + B_y \cdot V' + B_w \cdot \vartheta') \\ \gamma_{xy} &= \Theta \cdot \varphi' + \frac{E}{G} (S_x \cdot U + S_y \cdot V + S_w \cdot \vartheta) \end{aligned} \quad (2)$$

となる。

微小変形に対する部材のひずみエネルギー、部材の運動エネルギー、外力のポテンシャルエネルギーをそれぞれ π_s 、 π_k 、 π_{ex} とすると、薄肉断面部材の運動方程式は、Hamilton の原理から次のように与えられる。

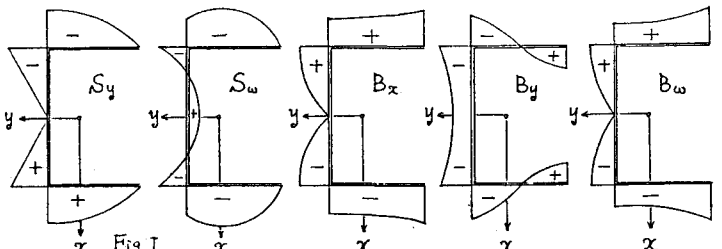
$$\oint_{t_1}^{t_2} (\pi_s - \pi_k + \pi_{ex}) dt = 0 \quad (3)$$

変分法により t_1 と t_2 において仮想変位(変分)が零となるように定めると、その結果 Euler-Lagrange の式及び部材両端の境界条件が得られる。さらに外荷重を受けない無限長の一様な断面部材を考え、位相速度 C 、波長 λ とする足方向の進行波を先に誘導された Euler-Lagrange の式に代入すると、各変位成分の振幅に関する連立方程式が得られる。これをマトリックス表示すると固有値問題となり、これを解いて波動分散曲線を求める。

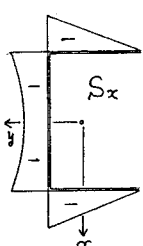
3. 数値計算例

式(1)、(2)に現れる S_x 、 S_y 、 S_w 、 B_x 、 B_y 、 B_w は、新しい座標系であると考へることができる。これを手すり断面部材について示すと右図のようになる。

又、足方向への進行波として表わされた各変位成分は、次のようになる。



$$\begin{aligned} U &= \tilde{U} \sin \frac{2\pi}{\lambda} (z - c \cdot t) & V &= \tilde{V} \sin \frac{2\pi}{\lambda} (z - c \cdot t) & W &= \tilde{W} \cos \frac{2\pi}{\lambda} (z - c \cdot t) \\ \varphi &= \tilde{\varphi} \sin \frac{2\pi}{\lambda} (z - c \cdot t) & U &= \tilde{U} \sin \frac{2\pi}{\lambda} (z - c \cdot t) & V &= \tilde{V} \sin \frac{2\pi}{\lambda} (z - c \cdot t) \\ \vartheta &= \tilde{\vartheta} \sin \frac{2\pi}{\lambda} (z - c \cdot t) \end{aligned}$$



ここで、 \tilde{U} 、 \tilde{V} 、 \tilde{W} 、 $\tilde{\varphi}$ 、 $\tilde{\vartheta}$ は振幅を示す。

以上の諸量によって自由振動弹性波の位相速度分散曲線は、次のようになる。

$$\{[A] - \left(\frac{c}{c_s}\right)[B]\} \{\delta\} = 0, \quad \{\delta\} = \{\tilde{w}, \tilde{u}, \tilde{v}, \tilde{\phi}, \tilde{\psi}, \tilde{\theta}\}^T$$

ここでマトリックス[A],[B]の要素は波長入、Fig Iに従って積分することによって得られる断面諸量から成る。部材横断面の代表的な寸法をHとし、波長を無次元化し H/λ として横軸にとり、せん断波速度 $c_s = \sqrt{G/P}$ を用いて位相速度 C を無次元化し、 C/c_s として縦軸にとる。

以下に2・3の数値計算例を示す。

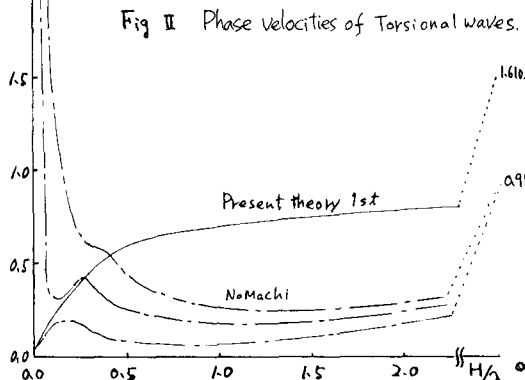
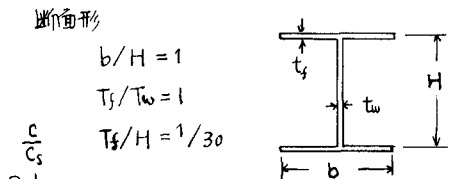


Fig II は、ねじれ波動分散曲線である。実線は本理論によるものであり、一点鎖線は能野らによる理論による。短波長において値が異なるのは、断面変形を考慮するか否かの差であると思われる。Fig III は曲げ波動分散曲線である。本理論によるものが実線であり、一点鎖線は Timoshenko の理論によるものであり、点線は Rayleigh による。本理論による短波長での値は 1.6102 である。Fig IV は、ねじれ波動分散曲線である。実線は本理論による。点線は Aggarwal によるものであり、一点鎖線は曲げねじれ理論、二点鎖線は St. Venant のねじりである。

参考文献

- 1) Aggarwal, Chanch; A Theory of Torsional and Coupled Bending-Torsional Waves in Tin-Walled Open Section Beams. 2) 能野ら:薄肉T形はりの弹性波の位相速度について。土木学会論文報告集第244号, 中村; 断面変形を考慮した薄肉はりの振動解析。土木学会論文報告集第223号 深澤; 薄肉はりの曲げねじれ振動波の伝播について。土木学会年次講演会概要集 1973年 3) 稲葉ら:薄肉直線板せん断変形解析。土木学会 31回年次講演会概要集。

Fig III Phase velocities of bending waves

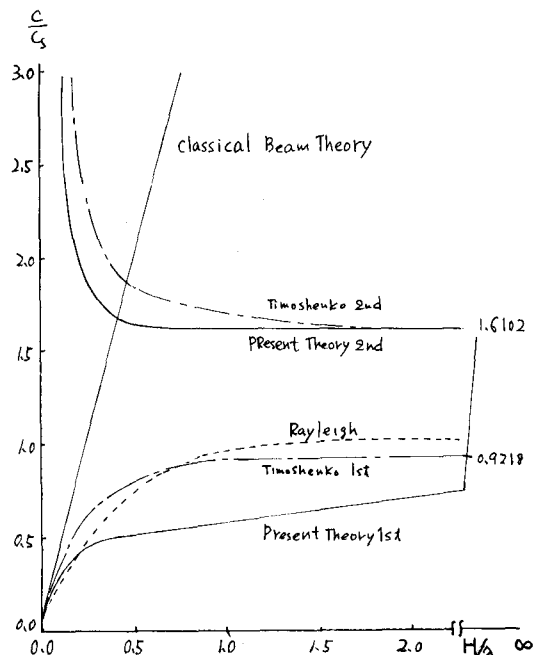


Fig IV Phase velocities of torsional waves.

